

九大正会員 栗谷陽一

・ 溝田哲也

学生員 ○ 岩原 茂

江副章之介

1. まえがき

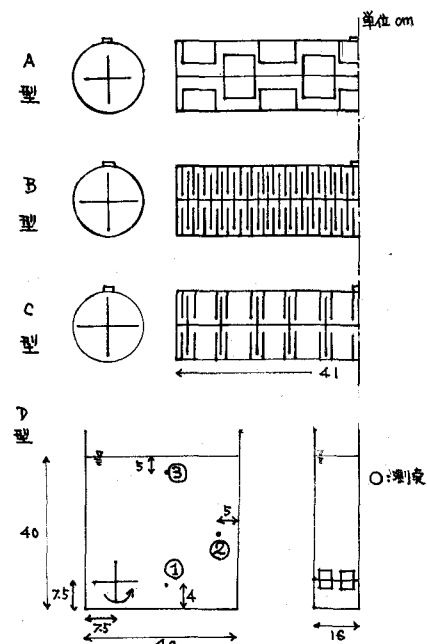
フロックの形成は $C \cdot G \cdot T$ (C : フロック濃度, G : 剪断強度, T : 搅拌時間) で表現しうるとされている。従来、この G 値としてはジャー・テスター中の空間的平均値を用いていたが、ジャー・テスター中において搅拌翼の近くでは平均 G 値よりも大きく、遠くなれば逆に小さくなると考えられる。 G 値の最大値がフロック形成に及ぼす影響は無視できないことが既に分っているので、この影響について詳しく調べ、又、同じ平均 G 値のもとでフロックを水流にのせて循環させ、フロックの成長と破壊を繰返したときの影響について調べた結果を報告する。

2. 実験装置と方法

実験装置を図-1 に示す。円筒ジャー・テスターは内径 10 cm, 長さ 41 cm のアクリルパイプでできている。容器は水平に設置されている。搅拌翼は径 3 mm, 長さ 40 mm の棒又は、3.2 cm 平方の板でできている。搅拌翼は回転軸に、固定翼は内壁に 90° の間隔で取り付けた。パイプにはサンプラー・挿入孔、及び、薬品注入孔を設けた。乱れの不均一性がフロック形成に与える影響を測定するために、最も均一な乱れを発生する装置を A 型、最も不均一な乱れを発生する装置を C 型、その中間的な装置を B 型、以上 3 つのジャー・テスターを作った。角型ジャー・テスター (D 型) は、
 $40\text{cm} \times 40\text{cm} \times 16\text{cm}$ の塩化ビニール製で、固定翼は取り付けてない。搅拌翼を中心取り付けてないのは、乱れの分布を不均一にし、搅拌強度の履歴性がフロック形成に及ぼす影響を見るためである。

使用懸濁液は学内水道水に着色小石カオリソを 1000 ppm 速和し、硫酸バンド、セパランの最適値を注入した。サンプラーは前報同様、厚さ 3 mm のセルを用いた。このサンプラー内のフロックを顕微鏡写真に撮りこれからフロック粒度分布を求めた。又角型ジャー・テスター中のフロックが強い搅拌を受ける繰返し時間を測定するために、プロペラ流速計を用いて流速分布を測定した。

実験としては、 G 値 300 で搅拌しながら、カオリソ、硫酸バンド、セパランの順に注入した。セパラン注入直後を実験開始時刻とし、サンプリング時刻を、1 分、10 分、20 分、60 分、120 分、240 分、480 分とした。



3. 結果と考察

D型ジャーテスタ内の平均 \bar{V} 値300の場合におけるフロックの流れを模式的に示したものが図-2である。平均的にみて測定1から測定2までの到達時間は約2秒、測定3まで約6.5秒、ふたたび測定1に帰ってくるまでの時間は約8.5秒となっている。単位体積中のフロックの累加体積が全体積の $\frac{1}{2}$ になるフロック体積(V_{50})の時間変化を図-3に示す。この図よりD型ジャーテスタ中のフロック濃度分布はA, B, C型に比較して、フロックの平均粒径は時間が経つにつれて小さくなっている。又、図-4は実験開始後60分における単位体積中のフロックの累加体積とフロック体積の関係を示す。本図より、 V_{50} の変化を円筒ジャーテスタ、A, B, Cについてくらべると、 \bar{V} 値の空間的分布が均一に近いA型のものが平均フロック粒径がもっとも大きい。B型とC型を比較するに \bar{V} 値の空間的分布が不均一であるC型がフロック粒子全般にわたって小さくなっている。D型においては、A, B, C型に比較してかなり V_{50} が小さくなっている。測定2と測定3の累加フロック曲線が一致していることより、すでに測定2でフロックは回復していることがわかる。

回復しているにもかかわらず円筒型よりもひどに格段に小さいといふことはフロックは一度高い \bar{V} 値で破壊されると、回復時間を充分にとっているにもかかわらずその大きさにまでは達し得ないことを示している。このことはフロックの付着力は破壊の進行と共に小さくなることを示していると思われる。480分間に約3400回の破壊と成長を繰り返していることになる。

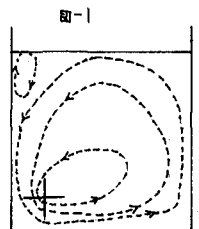
フロックの成長を促進させるには、すでに知られているが \bar{V} 値で、 \bar{V} 値の分布が均一であることが重要である。

参考文献

- 1) 桑田哲也:高分子凝聚補助剤を用いたフロッキュレーションに関する基礎的研究、第9回土木学会第1回研究発表会

講演論文集 P82~89

- 2) 乗合・桑田・江副:乱流中にあけるフロックの成長と破壊の平衡について(I), (II), 543, 西部支部 7249~250, 546, 西部支部 7228~229



フロックの模式的流れ

図-3

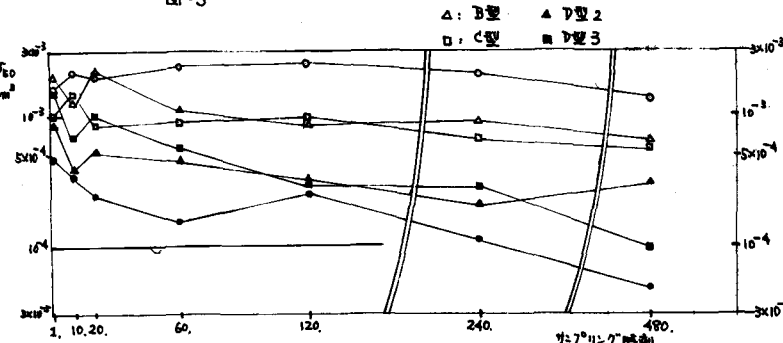


図-4

